

III-31 過圧密粘土の強度について

神戸大学工学部 正員 軽部大蔵

一面セン断試験機によって、過圧密粘土のセン断強さをしらべる一連の実験をおこなった結果を報告する。

I 試料および試験機

試料は、大阪湾付近の地表面下10m~20mからシンウォールサンプラーで採取された乱さないちゅう積層粘土で、物理的性質は、 $G_s 2.65 \sim 2.70$, $LL 80 \sim 89\%$, $PL 20 \sim 31\%$ である。これを直徑6cm厚さ1.2cmの円板に成形して、セン断箱に入れる。試験機は、いわゆる在来型であるが、上部ボーラーストーンは載荷板にとりつけられており、載荷板はガイドによって傾斜を防いでいる。また、垂直荷重は、従来の重錘によるほか、アルビンアーリングヒンドルによっても載荷できるよう改進されているので、等価積試験が容易に行なえる。

II 過圧密粘土のセン断強さを与える一般式について

飽和粘土のセン断強さは、周知のとくに实用上 Hvorslev の式であらわされる；

$$\tau = C_e + \sigma' \tan \phi_e \quad (1)$$

ここで $C_e = K \sigma_e + C_0$ (σ_e : 等価圧密応力。 C_0 はたいていゼロである。)

すなわち、セン断抵抗力はセン断面に垂直な応力 σ' に比例する成分と、向ヶキ比によって決定される粘着成分の和としてあらわされるのであるが、後者の粘着成分の本質が何かを知ることは、粘土の破壊基準が Mohr-Coulomb 系か VonMises 系かをきめる上で重要なことである。

ここでは、過圧密粘土の強度成分を次のように考えた。図-1において、正規圧密状態にある粘土(N 点)の圧密圧力を σ_0 まで低下させると、向ヶキ比が e_s だけ増加して過圧密状態となる。この状態を N' とあらわすと、 O と同じ向ヶキ比を示す正規圧密状態 N' が存在する。Hvorslevは、 O と N' の間の構造の相違は問題にせず、セン断中の σ' がことなるためにセン断強さの差があらわれるものと考えているようである。しかし、両者は相違する圧密応力 $\sigma_{N'} > \sigma_0$ のもとで同一の含水比をもつていて、このからして当然構造上のちがいを持ち、このちがいがセン断過程を通じて解消されると、破壊時の σ' が接近するのである。

ところで、粘土粒子相互間に働く力は、図-1のとくであるといわれている。このため、比較的小さい圧密応力 $\sigma_{N'}$ をうけている正規圧密粘土の粒子間隔分布は、図-1(b)の曲線 N' のようであるが、圧密応力が増加するにつれて、分布は左に移行し、かほりの部分の粒子が引力の状態にあって固粒を形成するものと考えられる。この固粒は、圧密応力が減少しても粒子相互の強い引力によって保持され、したがって粒子間隔の分布の分散は曲線 O に近づくように大きくなる。このような構造の粘土にセン断応力が加えられると、固粒同

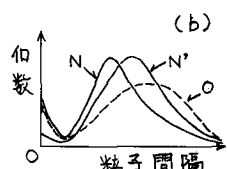
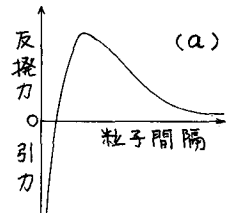
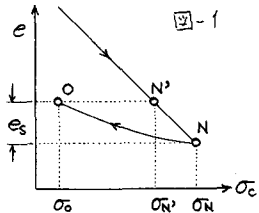


図-2

走がインターロッキン
ケなどの干涉をおこす
ので、せん断面は平滑
とならず、したがって
同じ含水比の正規圧密
粘土 N' に比べてむしろ
大きいせん断抵抗角を
示すであろう。

すなむち、

$$\text{正規圧密粘土: } \tau = \sigma' \tan \phi' \quad \dots \dots \dots (za)$$

$$\text{過圧密粘土} \quad \tau = \sigma' \left[\tan \phi' + \frac{(0\text{の固粒体積}-N\text{の固粒体積})}{e} \right] \quad \dots \dots \dots (zb)$$

ここに 0 の固粒体積 = N の固粒体積。

固粒化は圧密応力によっておこるが、両者の関数関係を導くには電気化学的な考察が必要である。ここでは便宜的に、固粒化は間ケキ比の変化と一定の関係を保つて起ると考え、式 (za) を次のようにあらためる：

$$\tau = \left[\tan \phi' + f\left(\frac{e_s}{e}\right) \right] \sigma' \quad (zc)$$

$$\therefore \tau/\sigma' = \tan \phi' + f\left(\frac{e_s}{e}\right) \quad (zd)$$

図-3は、表-1に示した種々の圧密等体積試験の結果を τ/σ' と e_s/e の関係にまとめたものである。表-1に用いられていく記号は図-1と同じであり、 σ_N は先行圧密応力、 σ_0 は膨潤応力、 e_s は膨潤量、 e は 0 の間ケキ比である。図-3のプロットはかなりのばらつきを示しているが、もともと $e_s/e = 0$ に対応する正規粘土の τ/σ' が中を持っていること。 $+$ 印であらわした試料は、乱さない試料を圧密降伏応力より小さい応力のもとでせん断した結果を、 $\sigma_N = P$ と仮定して計算したものであることを考へさせると、式 (zd) か

$$\tau/\sigma' = 0.57 + 0.2(e_s/e) \quad (ze)$$

のかたちで求められたとみてよいであろう。

このような考慮を正規圧密の領域にまで拡張することは可能であるが、そのためには、式 (ze) と Hvorslev の式の関係を吟味する必要がある。

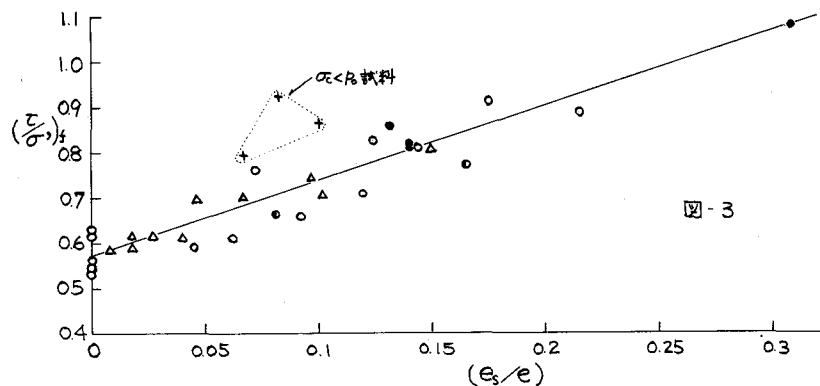


図-3

表-1. セン断試験結果

No.	kg/cm^2 σ_N	kg/cm^2 σ_0	cm d_s *	e_s/e	kg/cm^2 τ_f	kg/cm^2 σ'_f	$\frac{\tau_f}{\sigma'_f}$	備考
0.4	P	0.3	.055	0.100	0.289	0.335	0.863	$\sigma'_f > P$
0.5	"	0.4	.048	0.082	0.398	0.365	0.926	
0.6	16	0.5	.041	0.067	0.340	0.340	0.791	$\sigma'_f = P$
0.7	4	0.45	.043	0.092	0.675	1.060	0.656	$\sigma'_f = 3 \text{ kg/cm}^2$
0.8	48	0.45	.065	0.140	0.645	0.790	0.816	
0.9	48	0.175	.072	0.215	0.581	0.650	0.894	$\sigma'_f = 3 \text{ kg/cm}^2$
0.10	64	0.175	.103	0.308	0.538	0.500	1.076	
0.11	32	0.3	.061	0.131	0.468	0.545	0.859	$\sigma'_f = 2$
0.12	64	0.6	.066	0.140	0.846	1.050	0.806	$\sigma'_f = 4$
0.1	6	0.07	.097	0.175	0.590	0.650	0.908	
0.2	5.5	0.12	.040	0.072	0.441	0.575	0.767	
0.24	55	0.2	.079	0.140	0.660	0.820	0.805	
0.3	5	0.26	.067	0.120	0.736	0.998	0.708	
0.4	5	0.13	.067	0.122	0.605	0.735	0.824	
0.5	4	0.4	.035	0.062	0.800	1.315	0.608	$\sigma'_f \approx 3 \text{ kg/cm}^2$
0.6	3.5	0.7	.026	0.045	0.750	1.275	0.588	
0.8	4	0.07	.102	0.165	0.315	0.410	0.768	$\sigma'_f = 2$
0.9	3	0.33	.051	0.081	0.585	0.885	0.661	
△ 1'	3	.004	.008	1.222	2.09	0.583		
△ 2'	2	.009	.0018	1.105	1.80	0.614		
△ 3'	1.5	.014	.0027	1.052	1.71	0.616		
△ 4'	4	1	.021	0.040	1.006	1.65	0.610	$\sigma'_f = 4 \text{ kg/cm}^2$
△ 5'	0.5	.036	.0067	0.743	1.06	0.701		
△ 6'	0.25	.054	.0097	0.609	0.82	0.74		
△ 7'	0.125	.088	.0150	0.514	0.64	0.80		
△ 8'	2	.009	.018	1.323	2.25	0.588		
△ 9'	5	1	.024	.047	1.037	1.49	0.696	
△ 10'	0.25	.055	.012	0.669	0.95	0.704		

No.の記号は図3に対応。* d_s 膨潤量

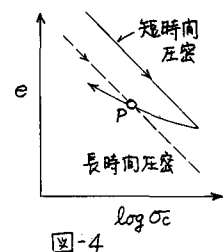


図-4

III 圧密時間がせん断強さに与える影響について

圧密荷重と圧密量の関係 ($e \sim \log \sigma_e$ 関係) は、圧密時間の長さに影響される。たとえば、図-4の東

Pは、実験のようす応力履歴をうければ過圧密状態であり、破線の履歴ならば正規圧密状態である。このような履歴を持つ粘土の力学特性の研究の一環として、著者らは、三室らと同様に、正規圧密時間と種々にえた場合の等体積せん断強さの測定をおこなつた。圧密時間は16分～16日のはいに設定し、圧密圧力は主として3kg/cm²とした。図-5は、圧密中の含水比～時間関係を示している。供試体ごとに初期含水比にかなりの差があり、それが最後まで保持されている。しかし、圧密の終期には、各曲線は平行となるので、以後の圧密の評価は、圧密時間～時間と標準として、そのときの含水比からの変化量でおこなうこととした(図-6)。

圧密を所定時間おこなつた後、せん断速さ0.56mm/minで等体積せん断をおこなつた。せん断中の応力経路は図-6のようである。破壊をせん断応力最大の点で定義すると、圧密時間とせん断強さと、そのときの垂直応力 σ' 、水平変化 dH の関係は図-7のようになる。

試験結果を全応力の立場から整理すれば、圧密時間の増加による σ' の増分は、含水比の減少にもとづく成分と、それ以外の成分に分けられる。図-8の○印は、含水比とせん断強さの関係を求めるために、 $\sigma_e = 2.5 \sim 4 \text{ kg/cm}^2$ で圧密時間を1時間として行なった試験結果をあらわしている。同じ座標に図-7での σ' (実測値)をプロットすると●印のようになり、圧密時間を長くすることにより増加したせん断強さは、圧密応力を増加させたために生じる強度増より少ないとわかる。これは、正規圧密状態でのせん断であるので。

せん断当初の垂直応力が、「圧密荷重増大」の場合の方が大きいためであると考えられる。したがって両者の差は、正規圧密粘土と過圧密粘土のせん断強さの差に似ているといえよう。

ついに、せん断強さが Hvorslev の式(式(1))であらわされるとすると、

$$\frac{\tau_s}{\sigma_e} = c + \frac{\sigma'}{\sigma_e} \tan \phi_c$$

となる。図-9は、 $\sigma_e = 2 \text{ kg/cm}^2$ および 3 kg/cm^2 で種々の過圧密比を持つ供試体の試験結果を $\tau_s/\sigma_e \sim \sigma'/\sigma_e$ 関係にプロントしたものであり、外挿直線より c および ϕ_c が求められている。一方図-8の○印のもととおなじせん断試験に先立つ圧密過程(1時間圧密)から含水比と圧密応力の関係を求めておきこれを $w \sim \sigma_e$ 関係とみなすと、圧密

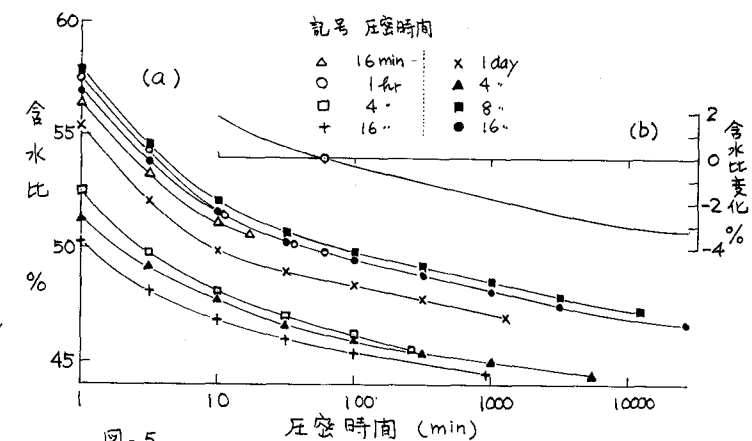


図-5

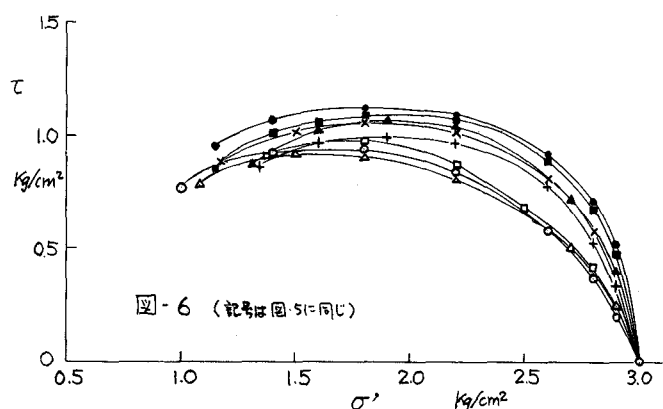


図-6 (記号は図-5と同じ)

時間を16分～16日の範囲に設定した後試体の σ_f を求めることができる。図-7の破線は、このようにして求めた σ_f と、図7の σ_f' ($= \sigma_{f\max}$ となってはいない) および図-9のか、 ϕ_e を用いて式(1)によって計算した τ_f の理論値である。図から明らかなように、実測値は理論値より小さいが、その差が圧密時間の増加とともに大きくなるのかどうかは、はつきりしない。

もしも、この報告のように、 τ_f の理論値と実測値が圧密時間の差によってちがうというのが一般的な事実ならば、Hvorslev の強度定数 C_e 、 ϕ_e は土に固有の定数とはいえないことになる。しかし、これをまとめて議論するためには、Hvorslev の強度定数測定の精度を向上させること、一面せん断につきものの局部せん断を防ぐために三軸試験を行うこと、および Hvorslev の強度定数の本質について、他の側面から研究を進めることなどが必要である。

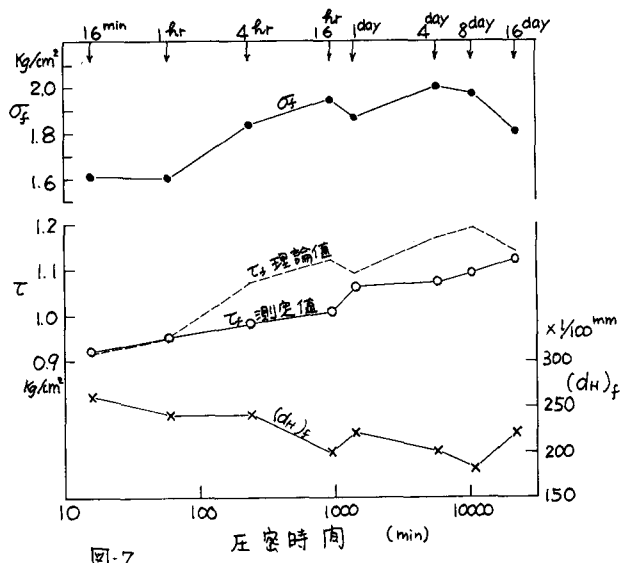


図-7

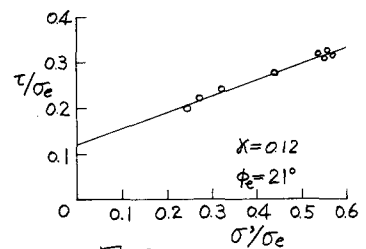


図-9

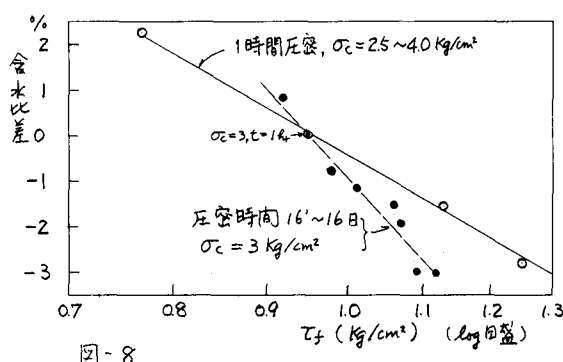


図-8